

بررسی و ارزیابی تأثیر سرعت اسکن^(۱) در روش های الکتروشیمیایی در محلول NaCl

چنگیز دهقانیان

دانشیار

دانشکده مهندسی شیمی، دانشگاه صنعتی اصفهان

چکیده

در این مطالعه تأثیر سرعت اسکن در آزمایش های الکتروشیمیایی بر روی فولاد ۳۰۴ در محلول نمک طعام ارزیابی شده است. با افزایش سرعت اسکن محدوده روئین شدن فلز در آزمایش های پلاریزاسیون پتانشیو دینامیکی انجام شده کم یا به کلی از بین می رود. برای مثال در سرعت اسکن ۲ / ۰ میلی ولت به تابعیه دارای محدوده گستردگی از ناحیه روئین می باشیم، در حالیکه در سرعت های اسکن ۱ و ۴ و ۵ میلی ولت به تابعیه روئین فلز کم یا به کلی از بین رفته است. در این صورت در سرعت اسکن زیاد این تصور بوجود می آید که فلز رفتار فعال دارد در حالی که فلز در محلول تشکیل فیلم می دهد و به حالت غیرفعال در می آید. سرعت خوردگی فولاد در محلول ۵ / ۳ درصد NaCl با افزایش سرعت اسکن افزایش یافت. همچنین پتانسیل بحرانی خوردگی حفره ای و اختلاف پتانسیل محدود روئین شدن و پتانسیل خوردگی فلز با افزایش سرعت اسکن به سمت پتانسیل های منفی تر سوق داده شدند.

Investigation and Evaluation of Scan Rate Effect on Electrochemical Techniques in NaCl Solutions

C. Dehghanian
Associate Professor
Chemical Engineering Department,
Isfahan University of Technology

Abstract

In this study, influence of scan rate on electrochemical experiments for 304 stainless steel in NaCl solution has been evaluated. The range of passivity of metal in potentiodynamic polarization with an increase in scan rate was decreased or totally destroyed. For example, in scan rate of 0.2 mv/sec we had an extended passive region however, in scan rates of 1, 4 and 5 mv/sec, the passive range was reduced or destroyed. Therefore, in high scan rates a wrong imagination may appear that the metal has an active behavior while metal produces a passive film in its surface. Corrosion rate of steel in 3.5% NaCl solution with an increase in scan rate was increased. Critical potential of pitting, the range of potential difference for passivity and corrosion potential of steel with an increase in scan rate was also shifted toward more negative potentials.

مقدمه

در بیست و پنج سال گذشته تغییرات مؤثرتری در خصوصیت دستگاههای موجود در دسترس متخصصین مهندسی الکتروشیمی و خوردگی دیده شده است [۱-۲]. استفاده از وسایل الکترونیکی دیجیتال و کامپیوتر به طور زیادی وسعت و راحتی آزمایش‌های الکتروشیمیابی و خوردگی را افزایش داده است [۳-۵]. این تغییرات تأثیر زیادی در مطالعه مکانیزم‌های سینیتیکی و خوردگی داشته است.

در بسیاری حالت‌ها برای AC-impedance اصول اساسی این روش از مدت‌ها قبل شناخته شده بود [۶-۷]. اما دستگاهی که بتواند اندازه‌گیری‌های مؤثرتری بر روی سیستم‌های پیچیده خوردگی انجام دهد و جود نداشت تا اینکه اخیراً چنین دستگاهی به بازار آمده است. به طور مشابه تجربه لازم برای به کار بردن این روش‌ها برای سیستم‌های پیچیده خوردگی با اطمینان کامل و تفسیر معتبر از نتایج حاصل از آن در طول چند دهه گذشته حاصل شده است [۸-۱۰] دو دلیل اصلی برای انجام دادن آزمایش‌های الکتروشیمیابی در آزمایش‌های الکتروشیمی و خوردگی شامل: ۱) به دست آوردن سرعت واکنش و خوردگی ۲) به نحوی خصوصیت دادن به فرآیندهای الکتروشیمیابی که کمک به محدود یا متوقف نمودن واکنش خوردگی کند. در حالت اول ترجیح داده می‌شود تا آزمایش‌ها به طور پیوسته و بدون هیچگونه تداخلی در فرآیند خوردگی صورت پذیرد.

مکانیزم و فرآیندهای خوردگی اکثر اشامل واکنش‌های الکتروشیمیابی می‌باشند، لذا در بکارگیری آزمایش‌های الکتروشیمیابی باید دقت شود تا آزمایشهایی که انجام می‌شوند اعتبار نتایج به دست آمده را تضمین کنند. عوامل مهمی وجود دارند که با تغییر دادن آنها ضمن آزمایش می‌توانند بر روی نتایج تأثیر بگذارند. از جمله آنها سرعت اسکن می‌باشد که در ایجاد آزمایش‌های پلاریزاسیون پتانشیوودینامیکی [۱۱] پلاریزاسیون خطی، پلاریزاسیون سیکلی و غیره می‌توانند تأثیر بگذارند. هدف اصلی این تحقیق تأثیر سرعت اسکن بر روی نتایج حاصل از آزمایش‌های الکتروشیمیابی می‌باشد که در این پژوهه آزمایش‌ها در محلول $NaCl$ درصد محلول $2/5$ برای فولاد ضد زنگ ۳۰۴ انجام شده است.

روش تحقیق

تیپه نمونه‌های فولادی

نمونه‌های فولادی ضد زنگ ۳۰۴ را به شکل استوانه به طول $1/27$ سانتی متر و قطر $95/0$ سانتی‌متر تهیه و تا عمق $635/0$ سانتی‌متر از انتهای آن سوراخ گردید تا در دستگاه نگهدارنده استاندارد نمونه برای پیل خوردگی مدل K47 فیت شود. نمونه‌های تهیه شده را قبل از آزمایش با کاغذ خیس 240 grit sic و سپس 600-grit sic گریزی کردند تا خراش‌های روی آن برداشته شوند. سپس نمونه‌ها با آب قطر شستشو و خشک شدند و سپس به طور کامل در محلول تری کلرواتیلن قرار گرفتند تا چربی یا گریس روی آنها برداشته شوند و شستشوی نهایی در آب قطر انجام گردید.

روش‌های الکتروشیمیابی

برای تعیین تأثیر سرعت اسکن بر روی بعضی از روش‌های الکتروشیمیابی سه روش انتخاب گردید که شامل: ۱) پلاریزاسیون پتانشیوودینامیکی (۲) پلاریزاسیون سیکلی (۳) پلاریزاسیون خطی می‌باشد. در این سه روش الکترود فولاد ضد زنگ به عنوان الکترود کاری و الکترود کربن به عنوان الکترود کمکی و الکترود اشباع کالومل به عنوان الکترود مرجع و محلول مورد آزمایش شامل محلول $2/5$ درصد $NaCl$ انتخاب گردید. در روش پلاریزاسیون پتانشیوودینامیکی، ابتدا فولاد را به مدت ۱۰ دقیقه در پتانسیل -1100 میلی ولت نسبت به الکترود کالومل اشباع نگه داشته شد و سپس با سرعت اسکن‌های متفاوت از $2/0$ تا 5 میلی ولت به ثانیه تا پتانسیل 400 میلی ولت نسبت به الکترود کالومل اشباع پلاریزه گردید.

در روش پلاریزاسیون سیکلی مانند روش پلاریزاسیون پتانشیوودینامیکی ابتدا پتانسیل فولاد به مدت ۱۰ دقیقه در پتانسیل -1100 میلی ولت نسبت به الکترود اشباع کالومل نگه داشته شد و سپس با سرعت اسکن‌های متفاوت تا پتانسیل 400 میلی ولت نسبت به الکترود کالومل اشباع پلاریزه گردید و سپس پتانسیل را تا پتانسیل 1100 برگشت داده شد.

در نهایت در روش پلاریزاسیون خطی پتانسیل فولاد را از -300 میلی ولت تا $+300$ میلی ولت نسبت به الکترود اشباع کالومل با سرعت اسکن‌های متفاوت پلاریزه گردید و سرعت خوردگی فولاد از روی آنها محاسبه شد.

نتایج و بحث

سرعت‌های اسکن متفاوت را نشان می‌دهد. سرعت خوردگی ارائه شده در شکل ۵ توسط روش پلاریزاسیون خطی در سرعت‌های اسکن متفاوت محاسبه شده است. در شکل ۵ مشاهده می‌شود که با افزایش سرعت اسکن سرعت خوردگی افزایش می‌یابد. سرعت خوردگی در سرعت اسکن ۲/۰ و ۵/۰ میلی‌ولت به ثانیه در حدود ۲ تا ۵ MPY/۲ می‌باشد. در حالی که در سرعت اسکن ۵ سرعت خوردگی به ۶/۵ MPY می‌رسد. این نتایج نشان می‌دهد که برای یک فلز و یک محیط سرعت اسکن حتی در سرعت خوردگی فلز تأثیر می‌گذارد.

در جدول ۱ بعضی از پارامترهای الکتروشیمیایی سیستم که از روی منحنی پلاریزاسیون سیکلی به دست آمده را ارائه می‌دهد. همچنانکه از این جدول مشاهده می‌شود با افزایش سرعت اسکن پتانسیل خوردگی فلز به سمت پتانسیل‌های مثبت تر میل می‌کند و اختلاف پتانسیل روئین شدن مجدد فولاد ضد زنگ با پتانسیل خوردگی آن را منفی تر می‌کند که نشان دهنده مقاومت کمتر فولاد در برابر خوردگی حفره‌ای می‌باشد. با توجه به نتایج ارائه شده در جدول ۱ در سرعت اسکن کمتر از ۵/۰ میلی‌ولت به ثانیه فولاد ضد زنگ در محلول ۳/۵ مقاومت بیشتری در مقایسه با سرعت اسکن ۵ میلی‌ولت به ثانیه از خود نشان می‌دهد.

نتایج آزمایش‌های من و گیب [۱۲] مانند نتایج ارائه شده در این مقاله نشان دادند که پتانسیل بحرانی خوردگی حفره‌ای فولاد ضد زنگ ۲۱۶ در محلول سولفات‌سدیم با تغییر در سرعت اسکن تغییر می‌کند.

باتوجه به نتایج این تحقیق مشخص می‌شود که در روش‌های الکتروشیمیایی در شرایط یکسان آزمایش، اگر سرعت اسکن تغییر کند و بالاتر از ۵/۰ میلی‌ولت به ثانیه باشد، نتایجی را ارائه می‌دهند که کاملاً با یکدیگر متفاوت می‌باشند که باعث تفسیر غلط در نتایج می‌گردد.

فرآیندهایی که در وجه مشترک فلز و محلول خورنده اتفاق می‌افتد، بسیار زیاد می‌باشد و طبیعت آنها با هم متفاوتند [۱۲]. این فرآیندها شامل واکنش‌های الکتروشیمیایی، واکنش‌های شیمیایی، سولوواسیون^(۳)، جذب فیزیکی واکنش‌های میانی^(۴)، انتقال ماده توسط مهاجرت، نفوذپذیری و جابجایی می‌باشند که در آزمایش‌های الکتروشیمیایی که جریان مستقیم یا غیرمستقیم به کار می‌برند، نقش مهمی بازی می‌کند. در

شکل ۱ منحنی پلاریزاسیون پتانسیو دینامیکی نوعی در سرعت اسکن‌های متفاوت در محلول ۳/۵ درصد NaCl را نشان می‌دهد. همانطوری که مشاهده می‌شود در سرعت اسکن ۲/۰ میلی‌ولت به ثانیه فولاد ناحیه روئین^(۵) گستردۀ ای را نشان می‌دهد که نشان دهنده تشکیل فیلم در سطح الکترود می‌باشد. در حالیکه در سرعت‌های اسکن ۱ و ۴ و ۵ ناحیه روئین کم شده یا اصلاً دیده نمی‌شود. منحنی‌های پلاریزاسیون برای سرعت اسکن ۵/۰ میلی‌ولت به ثانیه رفتاری شبیه به ۲/۰ میلی‌ولت به ثانیه دارد. پتانسیل تعادل یا خوردگی فولاد در رفتاری شبیه به ۲/۰ میلی‌ولت به ثانیه منفی‌تر از سرعت اسکن‌های ۱ و ۴ و ۵ می‌باشد.

شکل ۲ منحنی نوعی از پلاریزاسیون سیکلی برای فولاد ضد زنگ در محلول ۲/۵ درصد NaCl با سرعت اسکن ۵/۰ میلی‌ولت به ثانیه می‌باشد.

از روی منحنی سیکلی شبیه به شکل ۲ برای سرعت‌های اسکن مختلف، پتانسیل بحرانی خوردگی حفره‌ای (E_c) و پتانسیل روئین شدن مجدد فلز (E_p) به دست می‌آید که نتایج در شکل‌های ۳ و ۴ ارائه شده‌اند. در شکل ۳ مشاهده می‌شود که با افزایش سرعت اسکن پتانسیل بحرانی خوردگی حفره‌ای به خوردگی حفره‌ای منفی‌تر می‌کند که مستعدی فلز به خوردگی حفره‌ای بیشتر نمایان می‌سازد. در سرعت‌های اسکن ۲/۰ و ۵/۰ میلی‌ولت به ثانیه پتانسیل بحرانی خوردگی حفره‌ای نزدیک به ۵۰-۵۵ میلی‌ولت است در حالیکه در سرعت اسکن ۵ میلی‌ولت به ثانیه پتانسیل بحرانی به ۴۰۰ میلی‌ولت می‌رسد که در این صورت تفسیر نتایج برای این دو حالت کاملاً متفاوت است. در شکل ۴ با افزایش سرعت اسکن پتانسیل روئین شدن مجدد فلز (E_p) به سمت پتانسیل‌های منفی‌تر سوق داده می‌شود که نشان دهنده تشدید خوردگی حفره‌ای می‌باشد. در صورتی که برای سرعت‌های اسکن ۲/۰ و ۵/۰ میلی‌ولت به ثانیه پتانسیل‌ها مثبت‌تر می‌باشد و در محدوده ۲۶۰-۳۷۰ میلی‌ولت نسبت به الکترود کالومل اشباع می‌باشد، در حالی که در سرعت اسکن ۵ میلی‌ولت به ثانیه پتانسیل روئین شدن مجدد به ۵۰۰ میلی‌ولت نسبت به الکترود کالومل، اشباع می‌رسد که دوباره تفسیر نتایج برای سرعت‌های اسکن کم با سرعت اسکن بالا متفاوت است. شکل ۵ سرعت خوردگی فولاد ضد زنگ در محلول ۲/۵ درصد NaCl نسبت به

پتانسیل روئین شدن مجدد فولاد ضد زنگ و پتانسیل خوردگی آن ($E_p - E_{corr}$) یکسان می باشند، ولی در سرعت های اسکن بالاتر از $5/0$ میلی ولت به ثانیه با افزایش سرعت اسکن مقدار پتانسیل بحرانی حفره ای $E_p - E_{corr}$ به سمت پتانسیل های منفی تر سوق داده می شود که نشان دهنده غیر مقاوم بودن فلز در مقابل خوردگی حفره ای و شیاری می باشد.

جدول (۱) نتایج به دست آمده از منحنی های پلاریزاسیون سیکلی در مورد پارامترهای الکتروشیمیایی فولاد در محلول $3/5$ درصد $NaCl$ نسبت به سرعت اسکن.

سرعت اسکن (mv/sec.)	E_{corr} (mv)	E_c (mv)	E_p (mv)	$E_p - E_{corr}$ (mv)
$0/2$	-1000	-50	-360	640
$0/5$	-980	-60	-380	600
1	-600	-120	-400	200
4	-556	-200	-460	96
5	-452	-400	-500	-48

تشکر و قدردانی

هزینه این طرح تحقیقاتی توسط دانشگاه صنعتی اصفهان تأمین شده است که مراتب قدردانی و تشکر خود را از معاونت محترم پژوهشی دانشگاه ابراز می دارم.

زیرنویسها

2 - Passive

1 - Scan rate

3 - Solvation

4 - Adsorption of Intermediate Reactions

5 - Steady State

6 - Transient

آزمایش های الکتروشیمیایی که سرعت اسکن کم باشد، مقادیر اندازه گیری شده به وسیله آنها تمام مکانیزم های ذکر شده را در بر می گیرد.

با توجه به اینکه فرآیندهای ذکر شده وقت کافی برای اتفاق افتادن دارند در اندازه گیری ها منظور می گردند. در صورتی که زمانی که سرعت اسکن در آزمایش های الکتروشیمی زیاد باشند، چون زمان به اندازه کافی وجود ندارد. بعضی از این فرآیندها زمان لازم برای انجام شدن ندارند و در مقادیر اندازه گیری شده بعضی از آنها در نظر گرفته نمی شوند.

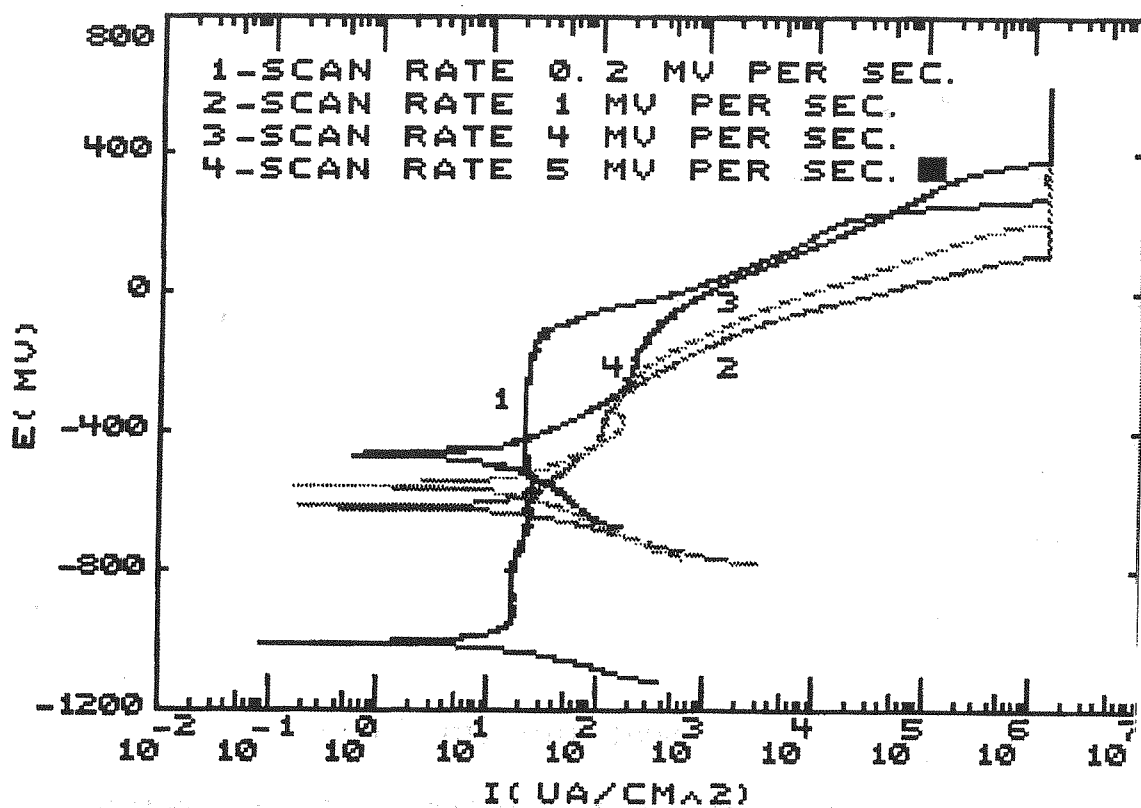
در نتیجه نتایج معتبری ارائه نمی دهند. در سرعت اسکن پایین (کمتر از $5/0$ میلی ولت به ثانیه) سیستم بیشتر به صورت یکنواخت (۵) عمل می کند. در حالیکه در سرعت های اسکن بالا (بالاتر از $5/0$ میلی ولت به ثانیه) سیستم به حالت گذرا (^۳ عمل می نماید که باعث می شود نتایج به دست آمده از آزمایش های الکتروشیمیایی با یکدیگر متفاوت باشند [۱۴]. به طور کلی آزمایش های الکتروشیمیایی مانند پلاریزاسیون پتانشیو دینامیکی، پلاریزاسیون سیکلی یا پلاریزاسیون خطی که در سرعت اسکن مساوی یا کمتر از $5/0$ میلی ولت به ثانیه انجام می شوند. نتایج بهتر و معتبری ارائه می دهند تا سرعت های اسکن بالای $5/0$ میلی ولت به ثانیه این نظریه به وسیله بعضی از محققین دیگر تأیید گردیده است [۱۵/۱۶].

نتیجه گیری

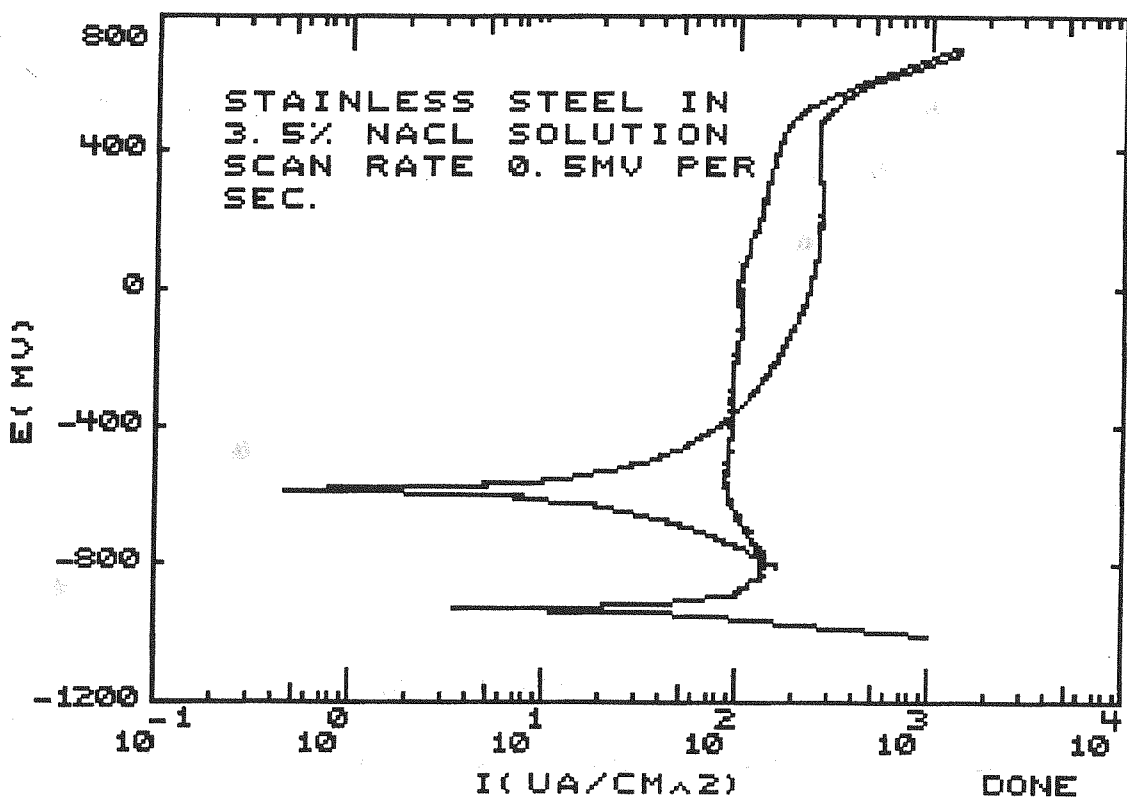
نتایج به دست آمده از این تحقیق نشان می دهند که با وجود آنکه روش های الکتروشیمیایی در اندازه گیری مکانیزم های سینیتیکی و خوردگی فلزات خیلی سریع و دقیق می باشند، ولی چنانچه با دقت از آنها استفاده نشوند نتایج تفسیر شده از روی آنها معتبر نخواهد بود. از تحقیق انجام شده نتایج کلی زیر را می توان ارائه نمود.

۱ - در سرعت های اسکن کم (کمتر از $5/0$ میلی ولت به ثانیه) سرعت خوردگی فولاد ضد زنگ در $3/5$ درصد $NaCl$ تقریباً یکسان می باشد و در سرعت های اسکن بالاتر از $5/0$ میلی ولت به ثانیه سرعت خوردگی با افزایش سرعت اسکن افزایش می یابد.

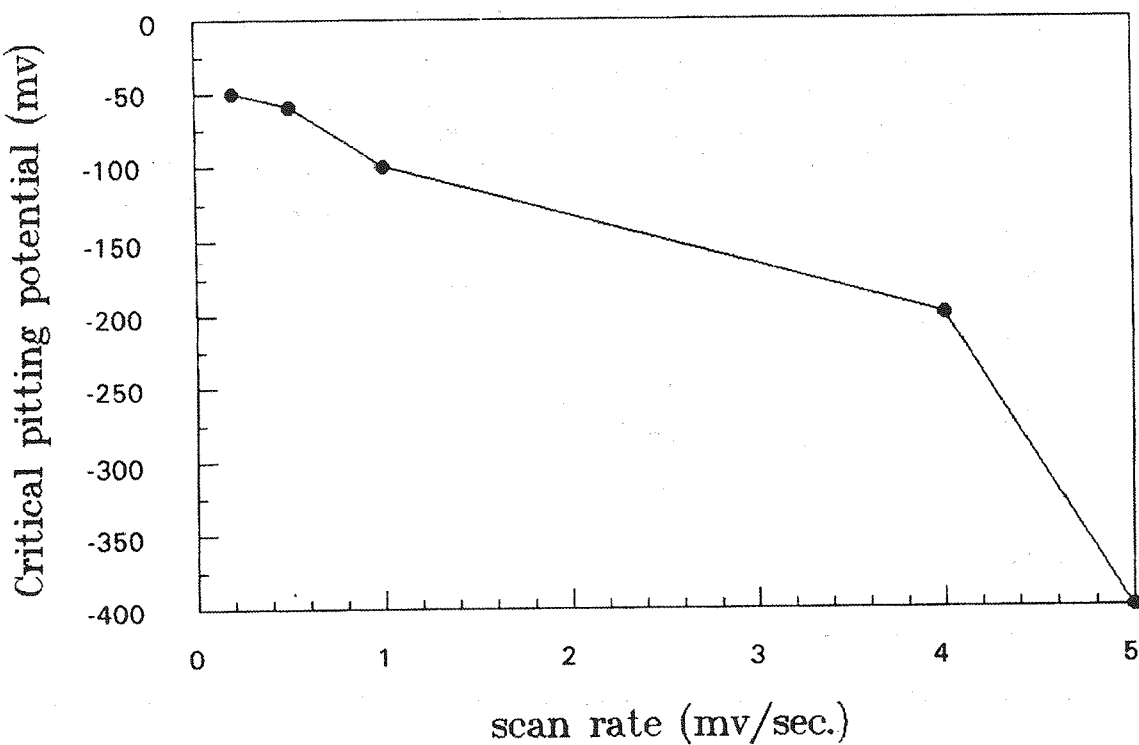
۲ - در سرعت های اسکن کمتر از $5/0$ میلی ولت به ثانیه پتانسیل های بحرانی خوردگی حفره ای و اختلاف



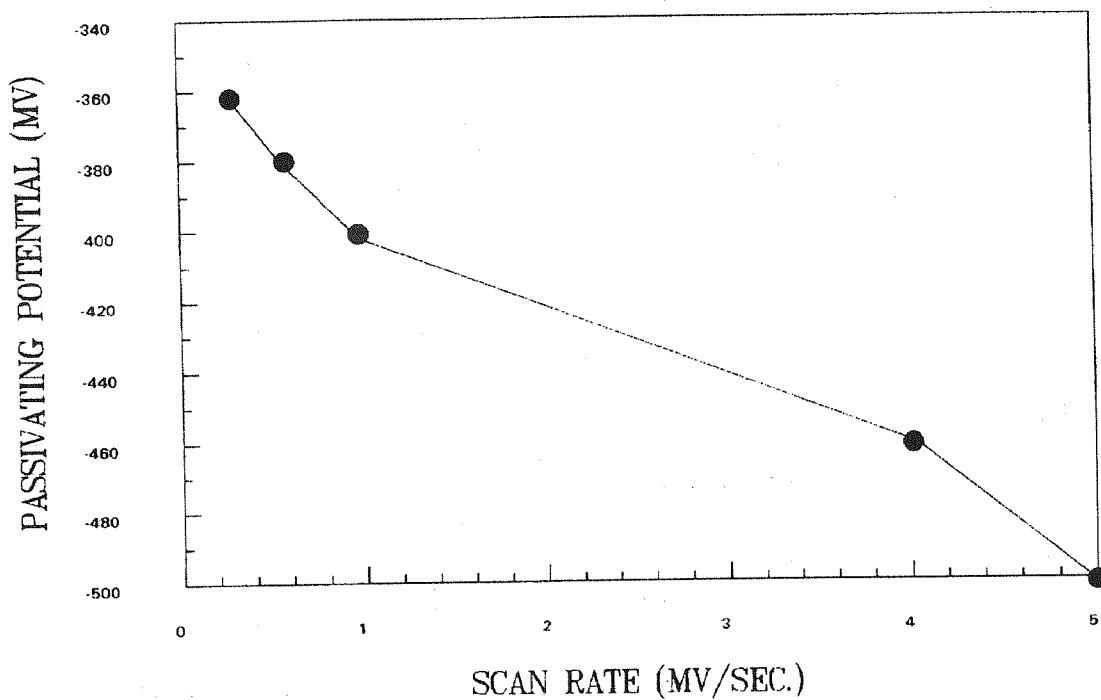
شکل (۱) منحنی های پتانشیوودینامیکی برای فولاد ضد زنگ ۳۰۴ در محلول ۵/۳ درصد NaCl در سرعت های اسکن متفاوت.



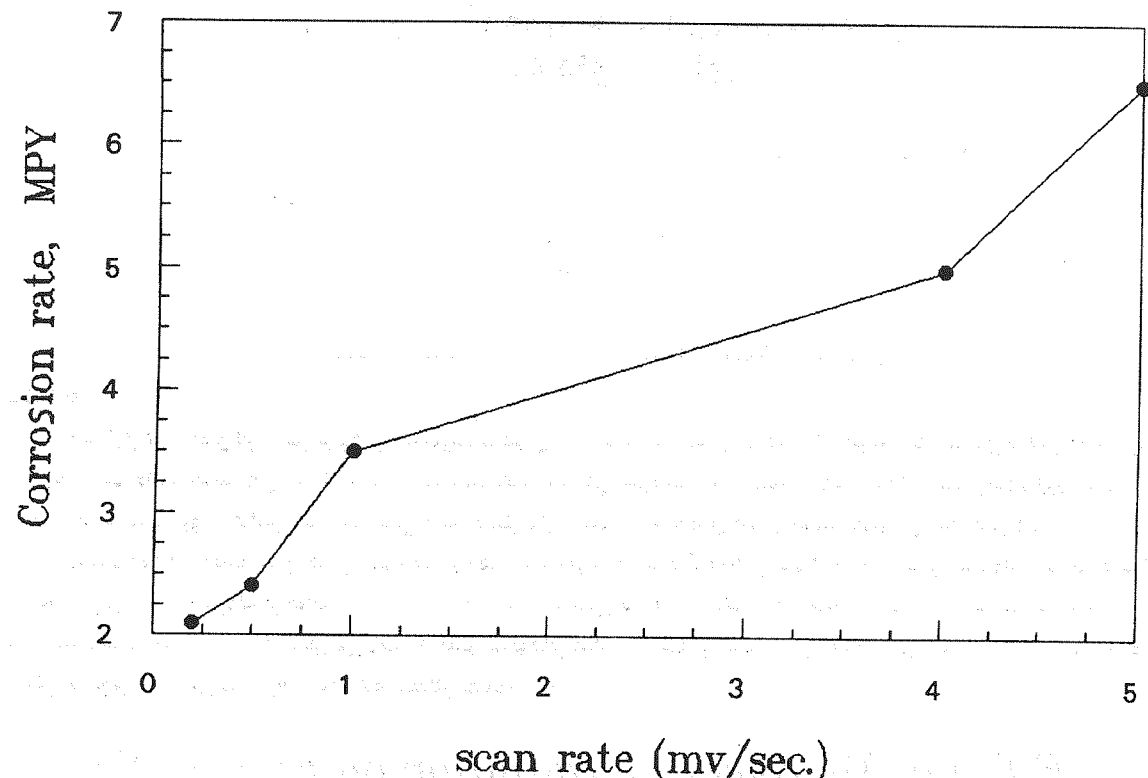
شکل (۲) منحنی پلاریزاسیون سیکلی نوعی برای فولاد ضد زنگ ۳۰۴ در محلول ۵/۳ درصد NaCl در سرعت اسکن ۰.۵ میلی ولت به ثانیه.



شکل (۳) پتانسیل بعراونی خوردگی حفره ای برای فولاد ضد زنگ ۳۰ ۴ در محلول ۵ / ۳ درصد NaCl به عنوان تابعی از سرعت اسکن.



شکل (۴) پتانسیل رونین شدن مجدد فولاد ضد زنگ ۳۰ ۴ در محلول ۵ / ۳ درصد NaCl به عنوان تابعی از سرعت اسکن.



شکل (۵) سرعت خوردگی فولاد ضد زنگ ۳۰۴ در محلول ۵/۳ درصد NaCl به عنوان تابعی از سرعت اسکن.

مراجع

- [1] Greif, R. J. of Physic. E, vol. 11, No. 1, 1978.
- [2] Mckubre, M.C.H. and McDonald, D.D. Comprehensive treatise of Electrochemistry, vol. 8, 1984, Newyork Plenum.
- [3] Matson, J.S. Mark, H. B. Computers in Chemistry Instrumentation, vol. 2, Electrochemistry, 1972, Newyork, Marcel Dekker.
- [4] Kendig, M. and Bertocci, G., Computers - Adid-ed Acquisition and Analysis of Corrosion Data, 1985, Pennington, N.J. Electro Chemical Society.
- [5] Cottis, R.A, Material Science Forum, 1989, 44/45, 123.
- [6] Randles, E.Disc. Faraday Soc. 1947, vol. 1, 11.
- [7] Slufers, J. H., ReCueil, 1960, vol. 79, 1092.
- [8] Gabrielle, C., Technical Report 00/83. Solarton Instruments. Farnborough. 1984.
- [9] Mansfeld, F. and Kendig. M. W., Werkst Korros, 1985, vol. 36, 473.
- [10] MacDonald, D.D., Proc. Conf., Corrosion 87, Sanfrancisco, 1987, NACE, PaPer 479: Corrosion, 1990, vol. 46, 229
- [11] West, J.M., British Corrsion Journal, 1970, vol. 5, 65.
- [12] Man, H. C. and Gabe, D.R., Corrosion Science, Vol, 21, No. 4, PP. 323 - 326, 1981.
- [13] Gruz, T.E., "Kinetics of Electrode Processing" Adam Hilger, 2nd ed., London, 1972.
- [14] Bard, A.J. and Faulkner, L.R., "Electrochemical Methods," John Wiley and Sons, 1980.
- [15] Lizlovs, E.A. and Bond, A.P., Corrsion, vol. 31, P. 219, 1985.
- [16] Morris, P.E. and Scarberry, Corrosion, vol. 28, P. 444, 1983.